

Московский государственный университет имени М. В. Ломоносова
Физический факультет
205 группа

Кагиров Ринат Рустамович

Курсовая работа

Вселенная с несколькими отскоками

Руководитель научной работы
КАНДИДАТ ФИЗИКО-МАТЕМАТИЧЕСКИХ НАУК СЕРГЕЙ
АНДРЕЕВИЧ МИРОНОВ
12 мая 2021г.

Москва, 2021 г.

1 Введение

Последние исследования показали, что теории Хорндески и их расширения, предлагают замечательные точки зрения для решения различных космологических проблем, таких как эволюция с отскоком или Гинезисом. Была показана в работах [1, 3, 4] возможность существования устойчивой эволюции с одним отскоком. В данной работе рассматривается возможность существования устойчивого решения с несколькими отскоками в рамках расширенных теорий Хорндески.

2 ОСНОВЫ

Из классического действия Эйнштейна-Гильберта и принципа наименьшего действия были получены уравнения поля в случае отсутствия материи ($T_{\mu\nu} = 0$) и $\Lambda = 0$:

$$S = \int R\sqrt{-g} d^4x \quad (1)$$

$$G_{\mu\nu} = R_{\mu\nu} - \frac{1}{2}Rg_{\mu\nu} = 0 \quad (2)$$

Далее было получено квадратичное действие S^2 путем замены:

$$g_{\mu\nu} = \eta_{\mu\nu} + h_{\mu\nu} \quad (3)$$

где $\eta_{\mu\nu}$ и $h_{\mu\nu}$ плоский метрический тензор и его малые возмущения, соответственно.

$$S_{\text{EH}}^{(2)} = -\frac{1}{2}(\partial_\sigma h_{\mu\nu})^2 + \frac{1}{2}(\partial_\mu h)^2 + (\partial^\nu h_{\mu\nu})^2 + \eta^{\mu\nu} h_{\mu\nu} \partial^\mu \partial^\nu h_{\mu\nu} \quad (4)$$

Из уравнений поля (2) путем той же замены (3) были получены EOM^1 :

$$-\partial_\lambda \partial^\lambda h_{\mu\nu} + \partial^\lambda \partial_\mu h_{\lambda\nu} + \partial^\lambda \partial_\nu h_{\lambda\mu} - \partial_\mu \partial_\nu h_\lambda^\lambda = 0 \quad (5)$$

Далее пользуясь ADM формализмом [5] было получено крайне важное в дальнейшем уравнение распространения гравитационных волн:

$$\square h^{(TT)} = 0 \quad (6)$$

Где индексы ТТ означают бесследовость и поперечность.

2.1 Теории Хорндески

В данном разделе обсуждаются теории Хорндески. В теориях Хорндески упомянутое действие Эйнштейна-Гильберта модернизируется следующим образом (сигнатура: - + + +):

$$S = \int d^4x \sqrt{-g} (\mathcal{L}_2 + \mathcal{L}_3 + \mathcal{L}_4 + \mathcal{L}_5 + \mathcal{L}_{\text{BH}}) \quad (7)$$

где

$$\mathcal{L}_2 = F(\pi, X), \quad (8)$$

$$\mathcal{L}_3 = K(\pi, X)\square\pi \quad (9)$$

$$\mathcal{L}_4 = -G_4(\pi, X)R + 2G_{4X}(\pi, X) [(\square\pi)^2 - \pi_{;\mu\nu}\pi^{;\mu\nu}] \quad (10)$$

$$\mathcal{L}_5 = G_5(\pi, X)G^{\mu\nu}\pi_{;\mu\nu} + \frac{1}{3}G_{5X} [(\square\pi)^3 - 3\square\pi\pi_{;\mu\nu}\pi^{;\mu\nu} + 2\pi_{;\mu\nu}\pi^{;\mu\rho}\pi_{;\rho}^{\nu}] \quad (11)$$

$$\begin{aligned} \mathcal{L}_{\mathcal{BH}} = & F_4(\pi, X)\epsilon^{\mu\nu\rho}{}_{\sigma}\epsilon^{\mu'\nu'\rho'\sigma'}\pi_{,\mu}\pi_{,\mu'}\pi_{;\nu\nu'}\pi_{;\rho\rho'} + \\ & + F_5(\pi, X)\epsilon^{\mu\nu\rho\sigma}\epsilon^{\mu'\nu'\rho'\sigma'}\pi_{,\mu}\pi_{,\mu'}\pi_{;\nu\nu'}\pi_{;\rho\rho'}\pi_{;\sigma\sigma'} \end{aligned} \quad (12)$$

Здесь π – скалярное (галилеонное) поле, $X = g^{\mu\nu}\pi_{,\mu}\pi_{,\nu}$,
 $\pi_{,\mu} = \partial_{\mu}\pi$, $\pi_{;\mu\nu} = \nabla_{\nu}\nabla_{\mu}\pi$, $\square\pi = g^{\mu\nu}\nabla_{\nu}\nabla_{\mu}\pi$, $G_{4X} = \partial G_4/\partial X$ и т. д.;

Теория Хорндески является наиболее общей скалярно-тензорной теорией модифицированной гравитации, характеризующейся наличием вторых производных в лагранжиане, которые тем не менее не приводят к появлению производных третьего и более высоких порядков в уравнениях поля.

Было проверено, что для $\mathcal{L}_3 = K(\pi, X)$ действительно не возникает третьих производных при варьировании по π , для других же слагаемых действия (7) вычисления становятся невообразимыми и проводятся с помощью компьютерной алгебры.

2.2 Один отскок

Теории Хорндески дарят прекрасные возможности для рассмотрения различных сценариев эволюции Вселенной, мы рассмотрим отскок. Такая модель предполагает, что изначально происходит сжатие Вселенной, которое в некоторый момент времени (момент «отскока») сменяется расширением [2, 3]

Нас интересуют космологические модели, описываемые пространственно-плоской метрикой Фридмана-Леметра-Робертсона-Уокера (FLRW):

$$ds^2 = dt^2 - a^2(t)\delta_{ij}dx^i dx^j.$$

В обзоре [2] было показано, что можно подобрать такие функции методом реконструкции, описывающие (7), что будут выполняться все условия на стабильность решений, а именно:

1. Выполнение уравнений поля, которые следуют из (7)

$$\begin{aligned} \delta g^{00} : \quad & F - 2F_X X - 6HK_X X\dot{\pi} + K_{\pi}X + 6H^2G_4 + \\ & + 6HG_{4\pi}\dot{\pi} - 24H^2X(G_{4X} + G_{4XX}X) + 12HG_{4\pi X}X\dot{\pi} - \\ & - 6H^2X^2(5F_4 + 2F_{4X}X) = 0 \end{aligned} \quad (13)$$

$$\begin{aligned} \delta g^{ii} : \quad & F - X(2K_X\ddot{\pi} + K_{\pi}) + 2(3H^2 + 2\dot{H})G_4 - \\ & - 12H^2G_{4X}X - 8\dot{H}G_{4X}X - 8HG_{4X}\ddot{\pi}\dot{\pi} - \\ & - 16HG_{4XX}X\ddot{\pi}\dot{\pi} + 2(\ddot{\pi} + 2H\dot{\pi})G_{4\pi} + \\ & + 4XG_{4\pi X}(\ddot{\pi} - 2H\dot{\pi}) + 2XG_{4\pi\pi} - 2F_4X(3H^2X + \\ & + 2\dot{H}X + 8H\ddot{\pi}\dot{\pi}) - 8HF_{4X}X^2\ddot{\pi}\dot{\pi} - \\ & - 4HF_{4\pi}X^2\dot{\pi} = 0 \end{aligned} \quad (14)$$

2. Отсутствие градиентных неустойчивостей и решений с духами (условия на скорость распространения тензорных и скалярных возмущений, точные формулы этих условий мы определим ниже)

Аналогично (4) в работе [4] было получено квадратичное действие для возмущений в теории с лагранжианом (7):

$$S = \int dt d^3xa^3 \left[\left(\frac{\hat{\mathcal{G}}_{\mathcal{T}}}{8} (\dot{h}_{ik}^T)^2 - \frac{\mathcal{F}_{\mathcal{T}}}{8a^2} (\partial_i h_{kl}^T)^2 \right) + \left(-3\hat{\mathcal{G}}_{\mathcal{T}}\dot{\zeta}^2 + \mathcal{F}_{\mathcal{T}} \frac{(\nabla\zeta)^2}{a^2} - 2\mathcal{G}_{\mathcal{T}}\alpha \frac{\Delta\zeta}{a^2} + 2\hat{\mathcal{G}}_{\mathcal{T}}\dot{\zeta} \frac{\Delta\beta}{a^2} + 6\Theta\alpha\dot{\zeta} - 2\Theta\alpha \frac{\Delta\beta}{a^2} + \Sigma\alpha^2 \right) \right] \quad (15)$$

Со следующими коэффициентами:

$$\mathcal{G}_{\mathcal{T}} = 2G_4 - 4G_{4X}X + G_{5\pi}X - 2HG_{5X}X\dot{\pi}$$

$$\mathcal{F}_{\mathcal{T}} = 2G_4 - 2G_{5X}X\ddot{\pi} - G_{5\pi}X$$

$$\mathcal{D} = 2F_4X\dot{\pi} + 6HF_5X^2$$

$$\hat{\mathcal{G}}_{\mathcal{T}} = \mathcal{G}_{\mathcal{T}} + \mathcal{D}\dot{\pi}$$

$$\begin{aligned} \Theta = & -K_X X\dot{\pi} + 2G_4H - 8HG_{4X}X - 8HG_{4XX}X^2 + G_{4\pi}\dot{\pi} + 2G_{4\pi X}X\dot{\pi} \\ & - 5H^2G_{5X}X\dot{\pi} - 2H^2G_{5XX}X^2\dot{\pi} + 3HG_{5\pi}X + 2HG_{5\pi X}X^2 \\ & + 10HF_4X^2 + 4HF_4X X^3 + 21H^2F_5X^2\dot{\pi} + 6H^2F_{5X}X^3\dot{\pi} \end{aligned}$$

$$\begin{aligned} \Sigma = & F_X X + 2F_{XX}X^2 + 12HK_X X\dot{\pi} + 6HK_{XX}X^2\dot{\pi} - K_{\pi}X - K_{\pi X}X^2 \\ & - 6H^2G_4 + 42H^2G_{4X}X + 96H^2G_{4XX}X^2 + 24H^2G_{4XXX}X^3 \\ & - 6HG_{4\pi}\dot{\pi} - 30HG_{4\pi X}X\dot{\pi} - 12HG_{4\pi XX}X^2\dot{\pi} + 30H^3G_{5X}X\dot{\pi} \\ & + 26H^3G_{5XX}X^2\dot{\pi} + 4H^3G_{5XXX}X^3\dot{\pi} - 18H^2G_{5\pi}X - 27H^2G_{5\pi X}X^2 \\ & - 6H^2G_{5\pi XX}X^3 - 90H^2F_4X^2 - 78H^2F_{4X}X^3 - 12H^2F_{4XX}X^4 \\ & - 168H^3F_5X^2\dot{\pi} - 102H^3F_{5X}X^3\dot{\pi} - 12H^3F_{5XX}X^4\dot{\pi}. \end{aligned} \quad (16)$$

Из структуры квадратичного действия (15) видно, что α и β — нединамические степени свободы. Варьируя действие (15) по этим переменным, получим два уравнения связи:

$$\begin{aligned} \frac{\Delta\beta}{a^2} &= \frac{1}{\Theta} \left(3\Theta\dot{\zeta} - (\mathcal{G}_{\mathcal{T}} + \mathcal{D}\dot{\pi}) \frac{\Delta\zeta}{a^2} + \Sigma\alpha \right), \\ \alpha &= \frac{\mathcal{G}_{\mathcal{T}}\dot{\zeta}}{\Theta} \end{aligned} \quad (17)$$

Решив эти два уравнения, действие (15) можно переписать в терминах только динамических степеней свободы:

$$S = \int dt d^3xa^3 \left[\frac{\mathcal{G}_{\mathcal{T}}}{8} (\dot{h}_{ij}^T)^2 - \frac{\mathcal{F}_{\mathcal{T}}}{8a^2} (\partial_k h_{ij}^T)^2 + \mathcal{G}_{\mathcal{S}}\dot{\zeta}^2 - \mathcal{F}_{\mathcal{S}} \frac{(\nabla\zeta)^2}{a^2} \right] \quad (18)$$

Где введены обозначения:

$$\begin{aligned}
\mathcal{G}_S &= \frac{\Sigma \mathcal{G}_T^2}{\Theta^2} + 3\mathcal{G}_T, \\
\mathcal{F}_S &= \frac{1}{a} \frac{d\xi}{dt} - \mathcal{F}_T, \\
\xi &= \frac{a(\mathcal{G}_T + D\dot{\pi})\mathcal{G}_T}{\Theta}.
\end{aligned} \tag{19}$$

Таким образом, действие (15) содержит одну скалярную ζ и две тензорных h_{ij}^T степени свободы. Квадраты скоростей звука для скалярных и тензорных мод имеют следующий вид соответственно.

$$c_{\mathcal{T}}^2 = \frac{\mathcal{F}_T}{\mathcal{G}_T}, \quad c_S^2 = \frac{\mathcal{F}_S}{\mathcal{G}_S}. \tag{20}$$

Именно на эти величины накладываются ограничения:

$$\mathcal{G}_T \geq \mathcal{F}_T > \epsilon > 0, \quad \mathcal{G}_S \geq \mathcal{F}_S > \epsilon > 0. \tag{21}$$

2.3 Несколько отскоков

После анализа полученных результатов [1, 2, 3, 4] для одного отскока возникает логичный вопрос: возможно ли подобрать такие функции в (7), которые будут описывать бесконечное количество отскоков (Cyclic Universe). В этом разделе мы занимаемся поиском этих функций и их анализом.

Основная идея совпадает с методом построения устойчивых решений, описанных в [1, 2, 3, 4].

Мы взяли за масштабный фактор следующую зависимость (исходя из того, что в момент отскока $H(t_{\text{bounce}}) = 0$, а $a(t_{\text{bounce}}) \neq H'(t_{\text{bounce}}) \neq 0$)

$$a(t) = 2 - \cos(t) \tag{22}$$

Которому соответствует:

$$H = \frac{\text{Sin}(t)}{2 - \text{Cos}(t)} \tag{23}$$

$$\dot{H} = \frac{-1 + 2 \cos(t)}{(-2 + \cos(t))^2} \tag{24}$$

Далее нам нужно подобрать такие функции в (7), чтобы выполнялись два упомянутых условия.

Так как существует определенный произвол в выборе функций, для удобства будем искать их в следующем виде:

$$\begin{aligned}
F(\pi, X) &= f_0(\pi) + f_1(\pi)X + f_2(\pi)X^2, \\
K(\pi, X) &= k_1(\pi)X, \\
G_4(\pi, X) &= \frac{1}{2} + g_{40}(\pi) + g_{41}X, \\
G_5(\pi, X) &= 0 \\
F_4(\pi, X) &= f_{40}(\pi), \\
F_5(\pi, X) &= 0
\end{aligned} \tag{25}$$

Без ограничения общности можно считать, что: $\pi(t) = t$, следовательно $X = 1$, а производные функций (25) выражаются следующим образом:

$$\begin{aligned}
F_X &= f_1(t) + 2f_2(t), & F_{XX} &= 2f_2(t), \\
K_X &= k_1(t), & G_{4X} &= g_{41}
\end{aligned} \tag{26}$$

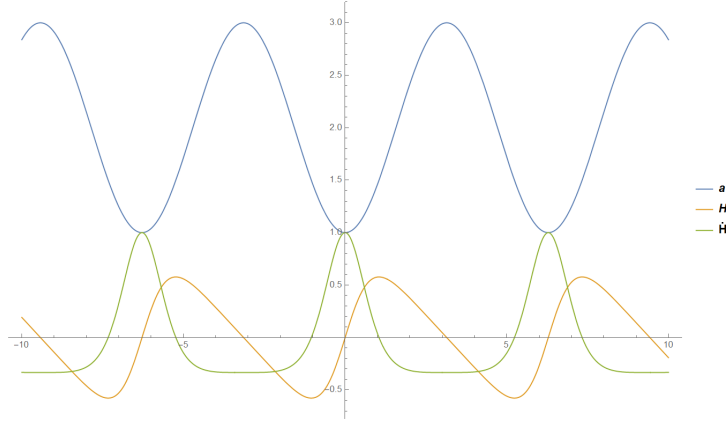


Рис. 1: Зависимости $a(t)$, $H(t)$ и $\dot{H}(t)$

Ясно, что уравнения поля и условия на скорость света не определяют точно нужные нам функции, поэтому они будут выбраны из удобства и некоторых других условий. Например, должна выполняться запрещающая теорема (по-го теорема), ограничивающая поведение $\xi(t)$, а именно - эта функция должна быть монотонно возрастающей на всем решении. Тогда:

$$\begin{aligned}
 \Theta &= \cos(t) \\
 \mathcal{D} &= 2 \sin(t) \\
 \mathcal{G}_{\mathcal{T}} &= \mathcal{F}_{\mathcal{T}} = 1 \\
 f_0 &= b + c_0 \sin(\alpha t)
 \end{aligned} \tag{27}$$

Таким образом мы можем точно определить интересующий нас лагранжиан с тремя параметрами, которые изменяют решения при их варьировании.

Далее подставив (27) и выраженные функции в уравнения поля (13-14), были найдены неизвестные функции f_1 и f_2 :

$$f_1 = -2c_0 \cos(\alpha t) - 2b - 68 \sin(t) + 51 \cos(t) + \frac{170-213 \sin(t)}{\cos(t)-2} + \frac{3-108 \sin(t)}{(\cos(t)-2)^2} + 111 \tag{28}$$

$$f_2 = c_0 \cos(\alpha t) + b + 53 \sin(t) - 17 \cos(t) + \frac{3(56 \sin(t)+1)}{(\cos(t)-2)^2} + \frac{219 \sin(t)-52}{\cos(t)-2} - 36 \tag{29}$$

Теперь у нас есть все функции (с точностью то постоянных коэффициентов), которые понадобятся для полного описания лагранжиана (7).

2.4 Анализ устойчивости

Далее нам нужно подобрать такие коэффициенты α , c_0 , b , чтобы выполнялись условия на скорости распространения возмущений скалярных мод (21), так как тензорные мы положили равными 1.

Предоставим здесь явные выражения для функций, входящих в коэффициенты при квадратичном действии:

$$\mathcal{G}_\tau = 1 \quad (30)$$

$$\mathcal{F}_\tau = 1 \quad (31)$$

$$\mathcal{F}_S = \frac{\cos(t) - 2(2 \tan^2(t) + \tan(t) \sec(t) + 1)}{\cos(t) - 2} \quad (32)$$

$$\begin{aligned} \mathcal{G}_S = & \frac{1}{8(1-2\sec(t))^2} \sec^4(t) (32c_0(\cos(t) - 2)^2 \cos(\alpha t) + \\ & 2(91 - 64b) \cos(t) + 4(4b + 105) \cos(2t) + 144b - 16 \sin(t) - \\ & 236 \sin(2t) + 64 \sin(3t) - 126 \cos(3t) + 3 \cos(4t) - 415) \end{aligned} \quad (33)$$

$$\xi(t) = (2 \sin(t) + 1)(-\cos(t) - 2) \sec(t) \quad (34)$$

$$\begin{aligned} c_S^2 = & \frac{2(\cos(t) - 2)(-8 \sin(t) + 3 \cos(t) + 4 \cos(2t) + \cos(3t) - 12)}{ \\ & (32c_0(\cos(t) - 2)^2 \cos(\alpha t) + 2(91 - 64b) \cos(t) + 4(4b + 105) \cos(2t) + \\ & 144b - 16 \sin(t) - 236 \sin(2t) + 64 \sin(3t) - 126 \cos(3t) + 3 \cos(4t) - 415)} \end{aligned} \quad (35)$$

$$c_{\mathcal{T}}^2 = 1 \quad (36)$$

Далее были построены графики полученных функций скорости при различных коэффициентах α, c_0, b для того, чтобы определить те самые коэффициенты, удовлетворяющие условиям устойчивости.

Представлены зависимости $c_S^2(t)$ при различных коэффициентах α, c_0, b . Нашим условиям удовлетворяет случай при $b > 12$, а α, c_0 можно выбирать в достаточно широких диапазонах, что подтверждает устойчивость найденных решений. (Рис. 2-5)

Также были построены зависимости $F_s(t), G_s(t), \xi(t)$ при найденных значениях параметров. (Рис. 6-8).

Итак, мы получили такие значения параметров при которых выполняются условия на устойчивость решений, причем все коэффициенты удовлетворяют им с достаточно широкой окрестностью.

2.5 Заключение

Было проведено исследование современных теорий эволюции Вселенной. В рамках расширенной теории Хорнденски были построены устойчивые решения для нескольких отскоков.

3 Графики

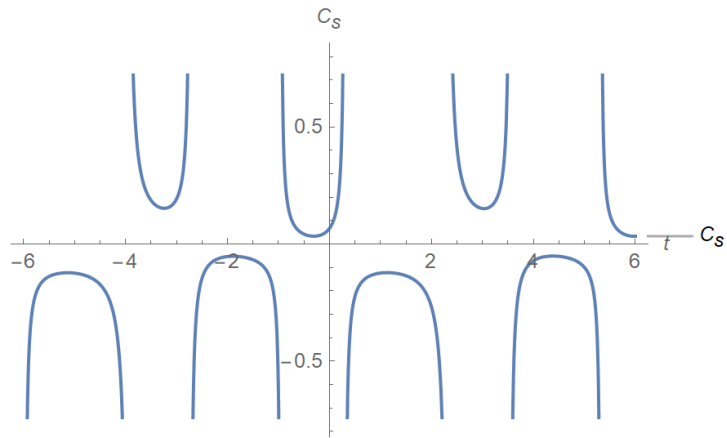


Рис. 2: Неустойчивое решение $c_S^2, b < 5$

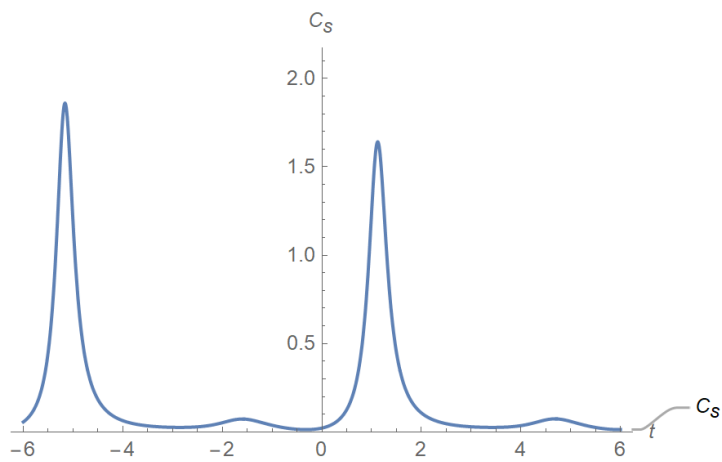


Рис. 3: Сверхсветовое распространение скалярных возмущений, $c_S^2 > 1$.
 $b = 5.36, \alpha = 0.035, c_0 = 3.94$

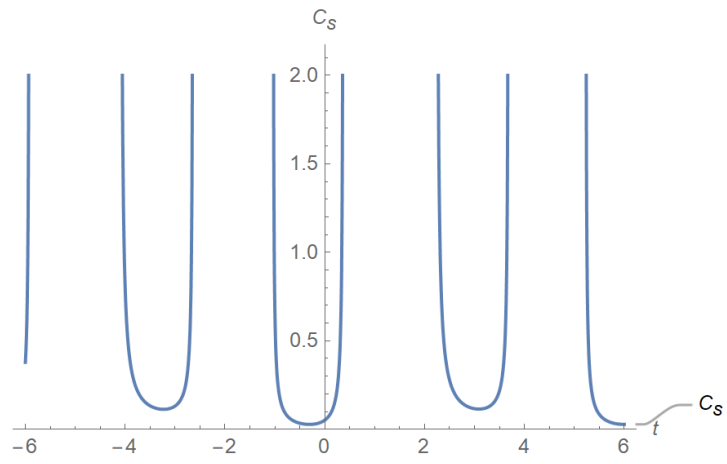


Рис. 4: Неустойчивое решение, сверхсветовое распространение $c_S^2 > 1, b < 0$

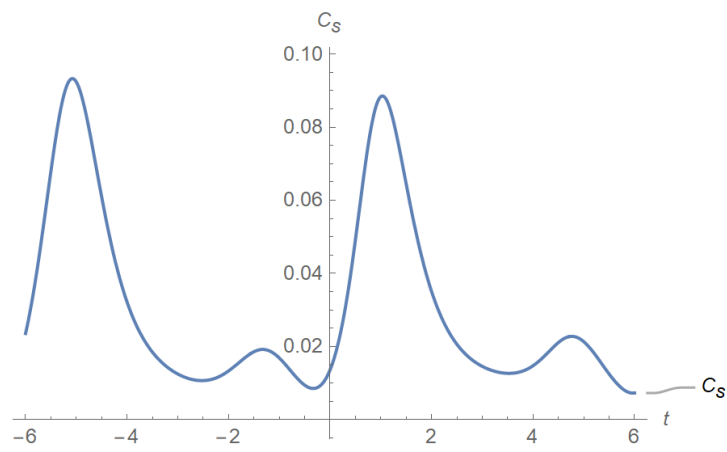


Рис. 5: Устойчивое решение, $0 < c_S^2 < 1, b > 12$

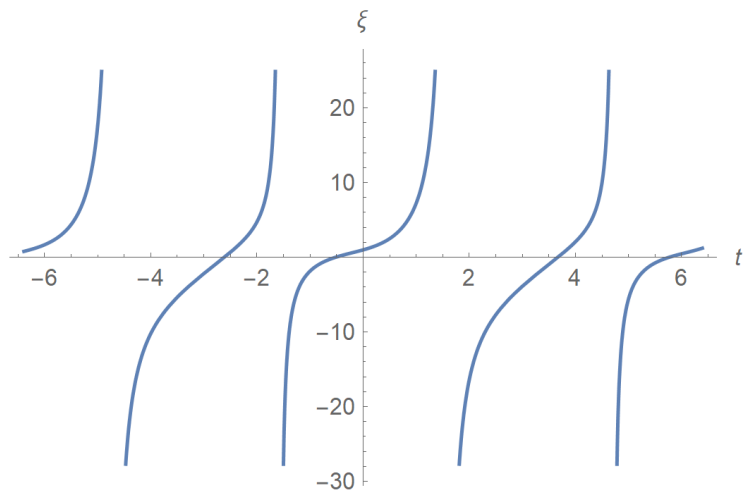


Рис. 6: Устойчивое решение, $\xi(t)$

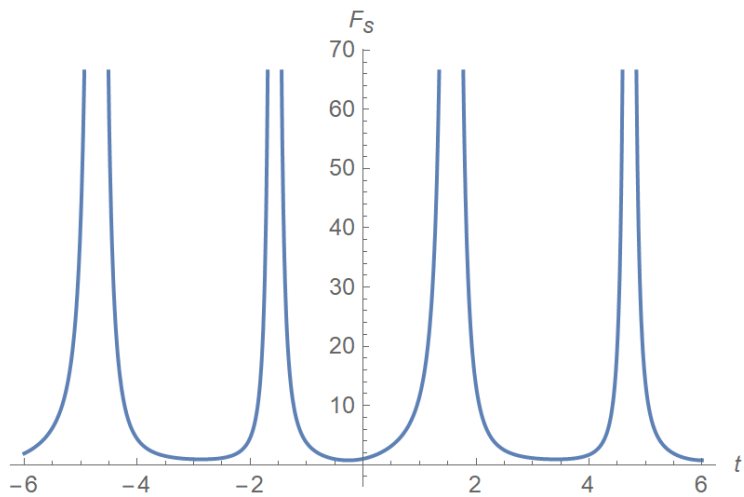


Рис. 7: Устойчивое решение, $F_s(t)$

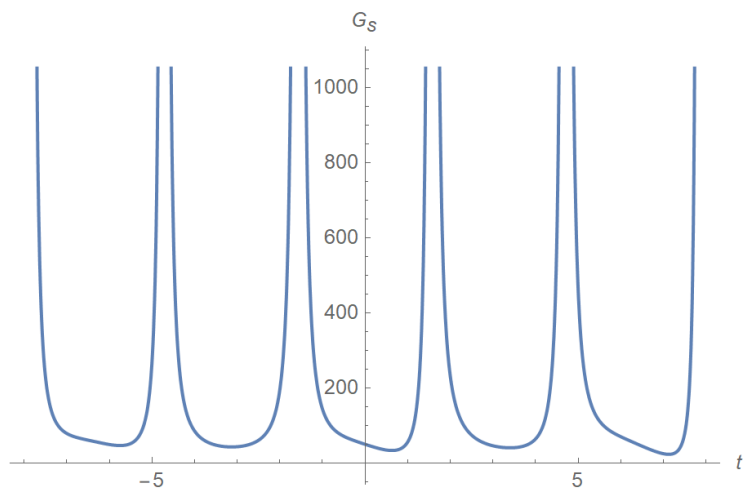


Рис. 8: Устойчивое решение, $G_S(t)$

Список литературы

- [1] Anna Ijjas. Space-time slicing in horndeski theories and its implications for non-singular bouncing solutions. *Journal of Cosmology and Astroparticle Physics*, 2018(02):007, 2018.
- [2] R Kolevatov, S Mironov, N Sukhov, and V Volkova. Cosmological bounce and genesis beyond horndeski. *Journal of Cosmology and Astroparticle Physics*, 2017(08):038, 2017.
- [3] S Mironov, V Rubakov, and V Volkova. Bounce beyond horndeski with gr asymptotics and γ -crossing. *Journal of Cosmology and Astroparticle Physics*, 2018(10):050, 2018.
- [4] S Mironov, V Rubakov, and V Volkova. Genesis with general relativity asymptotics in beyond horndeski theory. *Physical Review D*, 100(8):083521, 2019.
- [5] Valery A Rubakov and Dmitry S Gorbunov. *Introduction to the Theory of the Early Universe: Hot big bang theory*. World Scientific, 2011.